

设计IIR滤波器

数字信号处理第七讲讲义

序言

■ IIR滤波器的优点与缺点

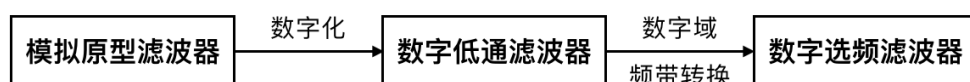
IIR滤波器的优点：

可以利用模拟滤波器设计，而模拟滤波器的设计有大量图表可查，方便简单。

IIR滤波器的缺点：

- 1.相位是非线性的；
- 2.冲激响应无限长，不能做快速卷积运算；
- 3.存在稳定性问题。

■ 设计IIR数字滤波器的步骤 【设计模拟低通滤波器】



- 1.根据要求的选频滤波器（高通、带通、带阻）设计指标，得出低通数字滤波器的设计指标。
- 2.由低通数字滤波器的设计指标得出模拟低通滤波器的设计指标(双线性变换法需预畸变)。
- 3.设计模拟低通滤波器（重点学习巴特沃斯滤波器、切比雪夫I型滤波器）。
- 4.将模拟低通滤波器转化为数字低通滤波器（重点学习冲激响应不变法、双线性变换法）。
- 5.将数字低通滤波器转化为要求的数字选频滤波器（数字域频带转换）。

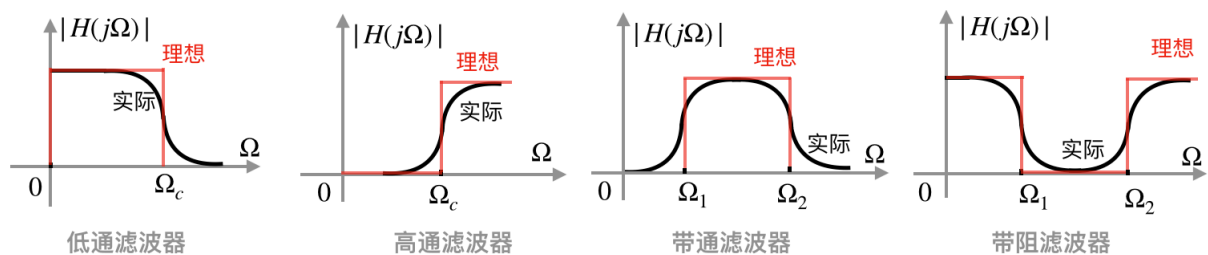
7.1. 模拟低通滤波器

7.1.1. 模拟原型滤波器

■ 模拟滤波器的设计

常用的模拟滤波器有巴特沃斯和切比雪夫两种。

常见的选频模拟滤波器的幅频特性如下图：



设计模拟滤波器，是根据一组设计规范来设计模拟系统的系统函数 $H(s)$ ，使其逼近某个理想滤波器的特性。

■ 根据幅度平方函数设计系统函数

幅度平方函数的表达式为

$$|H_a(j\Omega)|^2 = H_a(j\Omega)H_a(-j\Omega) = H_a(s)H_a(-s) \Big|_{s=j\Omega}$$

$H_a(s)$ 为模拟滤波器的系统函数，是 s 的有理函数；

$H_a(j\Omega)$ 为模拟滤波器的频率响应；

对于实滤波器，零极点以共轭复数对的形式出现；

因此 $H_a(s)H_a(-s)$ 的零极点关于 s 平面虚轴镜像对称；

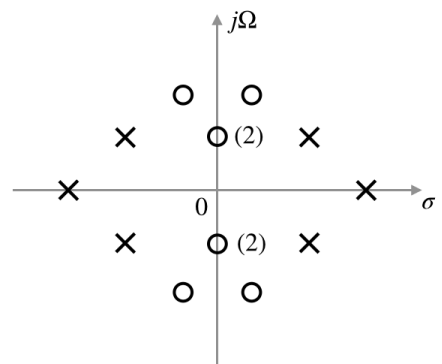
z 平面与 s 平面有这样的映射关系： $z = e^{sT}$ ，又 $s = \sigma + j\omega$

代入 s 的表达式，可得： $z = e^{(\sigma+j\omega)T} = e^{\sigma T} \cdot e^{j\omega T}$ ，实际上 $e^{j\omega T}$ 只表示相角。

因此 s 平面左半部分，即 $\sigma < 0$ 的区域，有 $|e^{\sigma T}| < 1$ ，在 z 平面就是单位圆内的部分。

根据幅度平方函数的表达式 $|H_a(j\Omega)|^2 = H_a(j\Omega)H_a(-j\Omega) = H_a(s)H_a(-s) \Big|_{s=j\Omega}$ 构造系

统函数：



$H_a(s)$ 为模拟滤波器的系统函数，要求滤波器是因果稳定系统；(z平面要求极点在单位圆内)

故 $H_a(s)$ 的极点一定位于s平面的左半平面；

因此需要将 $H_a(s)H_a(-s)$ 位于s平面的左半平面的极点归于 $H_a(s)$ ；

零点没有限制，只要将 $H_a(s)H_a(-s)$ 对称零点分为两半分别给 $H_a(s)$ 和 $H_a(-s)$ 即可，要求每一半零点以共轭对的形式出现；

如果要求最小相位系统，则 $H_a(s)H_a(-s)$ 位于s平面的左半平面的零点归于 $H_a(s)$ 。

(最小相位延迟系统的零点都在单位圆内)

■ 例题7-1

已知系统的幅度平方函数为 $|H_a(j\Omega)|^2 = \frac{16(25 - \Omega^2)^2}{(49 + \Omega^2)(36 + \Omega^2)}$ ，试求系统函数 $H_a(s)$ 。

7.1.2.巴特沃斯滤波器

■ 巴特沃斯模拟滤波器

巴特沃斯滤波器的幅度平方函数为 $|H(j\Omega)|^2 = \frac{1}{1 + (\frac{\Omega}{\Omega_c})^{2N}}$

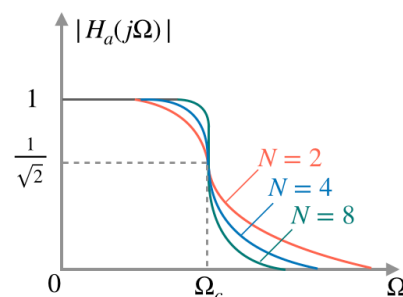
其中， N 为滤波器的阶数， Ω_c 为滤波器截止频率；

当模拟频率 $\Omega = \Omega_c$ 时， $|H(j\Omega_c)|^2 = \frac{1}{2}$ ， $|H(j\Omega_c)| = \frac{1}{\sqrt{2}}$ ；

相当于3dB衰减，因此， Ω_c 又称为3dB带宽；

通带具有最大平坦振幅特性，阻带单调变化。

巴特沃斯模拟滤波器的特性由 N 决定， N 越大，曲线越陡。



■ 巴特沃斯滤波器的设计指标

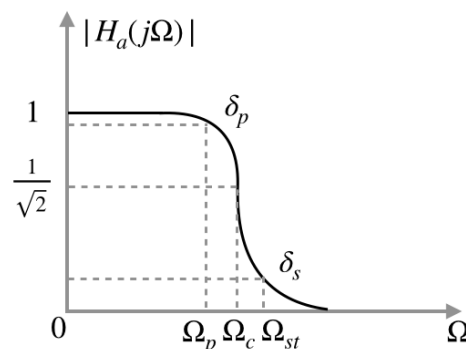
设计巴特沃斯模拟滤波器时需要考虑如下指标：

N ——滤波器的阶数，

Ω_p ——通带截止频率， δ_p ——通带衰减（波纹）(dB)

Ω_{st} ——阻带截止频率， δ_s ——通带衰减（波纹）(dB)

$$\delta_p = 20 \lg \frac{|H(j0)|}{|H(j\Omega_p)|}, \quad \delta_s = 20 \lg \frac{|H(j0)|}{|H(j\Omega_{st})|}$$



■ 巴特沃斯滤波器的设计流程

1. 根据指标要求确定滤波器阶数与滤波器截止频率；

当滤波器对通带的要求更高时：在 $\Omega = \Omega_p$ 处， $\delta_p = -10 \lg \left[\frac{1}{1 + (\Omega_p/\Omega_c)^{2N}} \right]$ ；

当滤波器对阻带的要求更高时：在 $\Omega = \Omega_{st}$ 处， $\delta_s = -10 \lg \left[\frac{1}{1 + (\Omega_{st}/\Omega_c)^{2N}} \right]$ ；

两式联立，可求得 $N = \frac{\lg[(10^{0.1\delta_p} - 1)/(10^{0.1\delta_s} - 1)]}{2 \lg(\Omega_p/\Omega_{st})}$ ，实际设计要求 N 为整数，因

此为了满足指标要求，须向上取整，即 $N = \left\lceil \frac{\lg[(10^{0.1\delta_p} - 1)/(10^{0.1\delta_s} - 1)]}{2 \lg(\Omega_p/\Omega_{st})} \right\rceil$ ；

在 $\Omega = \Omega_p$ 处，为较为精确地满足指标要求 $\Omega_c = \frac{\Omega_p}{\sqrt[2N]{10^{0.1\delta_p} - 1}}$ ；

在 $\Omega = \Omega_{st}$ 处，为较为精确地满足指标要求 $\Omega_c = \frac{\Omega_{st}}{\sqrt[2N]{10^{0.1\delta_s} - 1}}$ ；

可选取介于这两个值之间的数作为截止频率。

2. 根据阶数进行查表，得到归一化的系统函数 $H_{aN}(s)$ ；

通过查表可以确定模拟滤波器系统函数分母多项式 $s^N + a_{N-1}s^{N-1} + \dots + a_2s^2 + a_1s + a_0$ ；

其中系数 $a_N = a_0 = 1$ 不变，此时可以得到归一化的系统函数 $H_{aN}(s)$ 。

N	a_1	a_2	a_3	a_4
1	1			
2	1.4142136			
3	2	2		
4	2.6131259	3.4142136	2.6131259	
5	3.2360680	5.3260680	5.3260680	3.2360680
.....

3.将系统函数进行去归一化，得到最终的系统函数；

将归一化系统函数中的 s 替换为 $\frac{s}{\Omega_c}$ ，得到最终的系统函数，即 $H_a(s) = H_{a_N}(\frac{s}{\Omega_c})$ 。

■ 巴特沃斯滤波器的设计流程[小结]

1.根据指标要求确定滤波器阶数与滤波器截止频率；

$$\text{阶数 } N = \left\lceil \frac{\lg[(10^{0.1\delta_p} - 1)/(10^{0.1\delta_s} - 1)]}{2 \lg(\Omega_p/\Omega_{st})} \right\rceil, \text{ 截止频率 } \Omega_c = \frac{\Omega_p}{\sqrt[2N]{10^{0.1\delta_p} - 1}} \text{ 或}$$

$$\Omega_c = \frac{\Omega_{st}}{\sqrt[2N]{10^{0.1\delta_s} - 1}};$$

2.根据阶数进行查表，得到归一化的系统函数 $H_{a_N}(s)$ ；

3.将系统函数进行去归一化，得到最终的系统函数；

将归一化系统函数中的 s 替换为 $\frac{s}{\Omega_c}$ ，得到最终的系统函数，即 $H_a(s) = H_{a_N}(\frac{s}{\Omega_c})$ 。

■ 例题7-2

设计一个满足下列要求的模拟低通巴特沃斯滤波器：

通带截止频率 $\Omega_p = 0.2\pi \text{ rad/s}$ ，通带最大衰减 $\delta_p = 7\text{dB}$ ；

阻带截止频率 $\Omega_{st} = 0.3\pi \text{ rad/s}$ ，阻带最小衰减 $\delta_s = 16\text{dB}$ ；

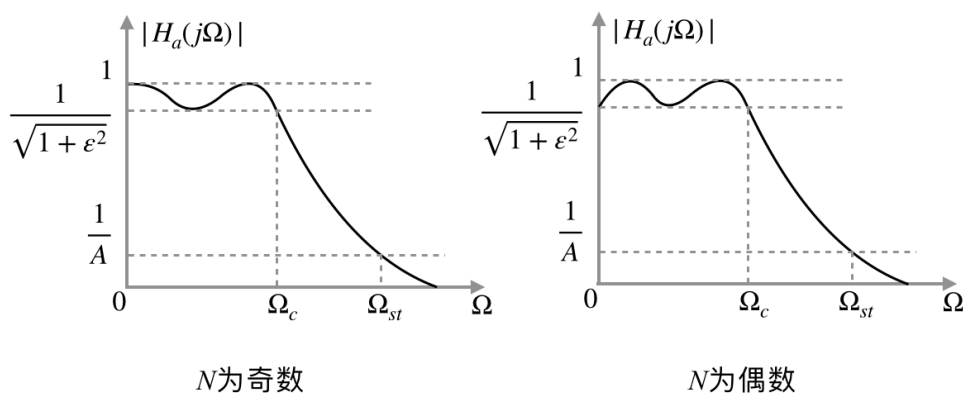
7.1.3.切比雪夫滤波器

■ 切比雪夫模拟滤波器

切比雪夫模拟滤波器分为I型和II型两种，本课程重点研究切比雪夫I型模拟滤波器的设计。

切比雪夫I型

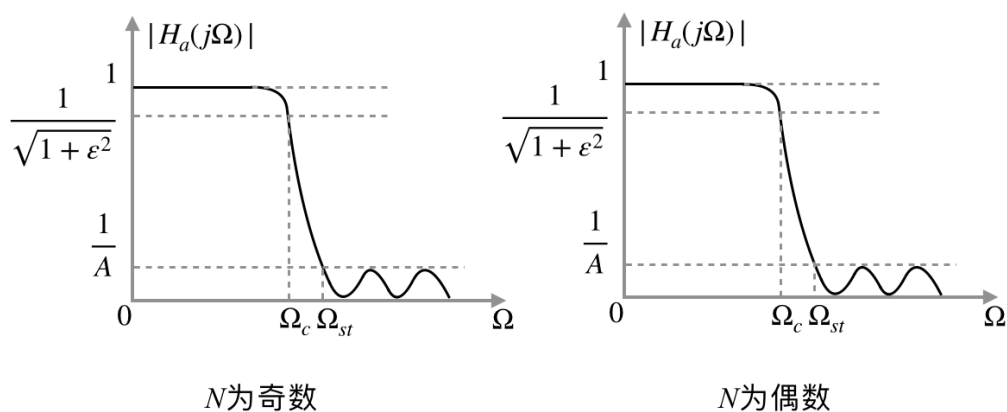
振幅特性在通带内是等波纹的，在阻带内单调下降。



切比雪夫II型

振幅特性在阻带内是等波纹的，在通带内单调下降巴特沃斯滤波器的幅度平方函数为

$$|H(j\Omega)|^2 = \frac{1}{1 + \left(\frac{\Omega}{\Omega_c}\right)^{2N}}.$$



■ 切比雪夫I型模拟低通滤波器

切比雪夫I型模拟滤波器的幅度平方函数为 $|H_a(j\Omega)|^2 = \frac{1}{1 + \varepsilon^2 C_N^2(\frac{\Omega}{\Omega_c})}$;

N 为切比雪夫I型模拟滤波器的阶次, Ω_c 为滤波器截止频率, ε 为波动程度,

对应通带 波纹 δ_p , $C_N(x)$ 为 N 阶切比雪夫多项式;

$\Omega = 0$ 时, N 为偶数时, $H_a(j0) = \frac{1}{\sqrt{1 + \varepsilon^2}}$; N 为奇数时, $H_a(j0) = 1$;

$\Omega = \Omega_c$ 时, $H_a(j\Omega_c) = \frac{1}{\sqrt{1 + \varepsilon^2}}$, Ω_c 定义为切比雪夫滤波器的通带截止频率;

在此截止频率下, 不一定对应3dB衰减, 这是与巴特沃斯滤波器的不同;

在通带内, 即 $|\Omega| < \Omega_c$ 时, 滤波器幅度呈等波纹起伏;

在通带外, 即 $|\Omega| > \Omega_c$ 时, 滤波器幅度随模拟频率的增大迅速单调趋于零。

■ 切比雪夫I型模拟低通滤波器的设计指标

设计切比雪夫I型模拟滤波器时需要考虑如下指标:

N ——滤波器的阶数,

Ω_c ——通带宽度, 一般预先给定, ε ——与通带波纹 δ_p 有关的参数

$$\delta_p = 20 \lg \frac{|H(j\Omega)|_{\max}}{|H(j\Omega)|_{\min}} = 10 \lg \frac{|H(j\Omega)|_{\max}^2}{|H(j\Omega)|_{\min}^2} = 10 \lg(1 + \varepsilon^2) \Rightarrow \varepsilon^2 = 10^{0.1\delta_p} - 1$$

■ 切比雪夫I型模拟低通滤波器的设计流程

1. 根据指标要求确定滤波器阶数;

滤波器的阶数 N 可以由通带、阻带衰减确定;

设滤波器的阻带起始频率为 Ω_{st} ，则此时阻带幅度平方函数值满足 $|H_a(j\Omega)|^2 \leq \frac{1}{A^2}$

则有 $\delta_s = 20 \lg \frac{1}{1/A} = 20 \lg A$ ， 且还有 $\delta_p = 10 \lg(1 + \varepsilon^2)$ ， 即 $\varepsilon^2 = 10^{0.1\delta_p} - 1$

可以推导出阶数应满足

$$N \geq \frac{\operatorname{arcch}[\sqrt{A^2 - 1}/\varepsilon]}{\operatorname{arcch}(\Omega_{st}/\Omega_c)} = \frac{\operatorname{arcch}[\sqrt{10^{0.1\delta_s} - 1}/\varepsilon]}{\operatorname{arcch}(\Omega_{st}/\Omega_c)} = \frac{\operatorname{arcch}[\sqrt{\frac{10^{0.1\delta_s} - 1}{10^{0.1\delta_p} - 1}}]}{\operatorname{arcch}(\Omega_{st}/\Omega_c)}$$

其中双曲余弦函数 $\operatorname{arcch}(x) = \ln(x + \sqrt{x^2 - 1})$ ， 实际设计要求N为整数， 因此为了满足指标要求， 须向上取整。

2.根据阶数和通带波纹进行查表（此时截止频率是归一化的）

以1dB通带波纹为例， 此时 $\varepsilon^2 = 0.2589254$

N	a_0	a_1	a_2	a_3	a_4
1	1.9652267					
2	1.1025103	1.0977343				
3	0.4913067	1.2384092	0.9883412			
4	0.2756276	0.7426194	1.4539248	0.9528114		
5	0.1228267	0.5805342	0.9743961	1.6888160	0.9368201
.....

通过查表可以确定模拟滤波器归一化系统函数

$$H_{a_N}(s) = \frac{d_0}{s^N + a_{N-1}s^{N-1} + \dots + a_2s^2 + a_1s + a_0};$$

其中系数 $a_N = 1$ 不变， 待定系数 d_0 根据 $H_a(j0) = H_{a_N}(s) \Big|_{s=0}$ 确定。

3.将系统函数进行去归一化， 得到最终的系统函数；

将归一化系统函数中的 s 替换为 $\frac{s}{\Omega_c}$ ， 得到最终的系统函数， 即 $H_a(s) = H_{a_N}(\frac{s}{\Omega_c})$ 。

有的资料将切比雪夫I型模拟滤波器的截止频率用 Ω_p 代替 Ω_c ； 此时将上述过程中的所有

Ω_c 用 Ω_p 代替即可， 二者在切比雪夫滤波器设计时等价。

$$N \geq \frac{\operatorname{arcch}[\sqrt{A^2 - 1/\varepsilon}]}{\operatorname{arcch}(\Omega_{st}/\Omega_p)} = \frac{\operatorname{arcch}[\sqrt{10^{0.1\delta_s} - 1/\varepsilon}]}{\operatorname{arcch}(\Omega_{st}/\Omega_p)} = \frac{\operatorname{arcch}[\sqrt{\frac{10^{0.1\delta_s} - 1}{10^{0.1\delta_p} - 1}}]}{\operatorname{arcch}(\Omega_{st}/\Omega_p)}$$

■ 切比雪夫I型模拟低通滤波器的设计流程[小结]

1. 根据指标要求确定滤波器阶数：

$$N \geq \frac{\operatorname{arcch}[\sqrt{A^2 - 1/\varepsilon}]}{\operatorname{arcch}(\Omega_{st}/\Omega_c)} = \frac{\operatorname{arcch}[\sqrt{10^{0.1\delta_s} - 1/\varepsilon}]}{\operatorname{arcch}(\Omega_{st}/\Omega_c)} = \frac{\operatorname{arcch}[\sqrt{\frac{10^{0.1\delta_s} - 1}{10^{0.1\delta_p} - 1}}]}{\operatorname{arcch}(\Omega_{st}/\Omega_c)}$$

2. 根据通带波纹与阶数进行查表，得归一化系统函数：

$$H_{a_N}(s) = \frac{d_0}{s^N + a_{N-1}s^{N-1} + \dots + a_2s^2 + a_1s + a_0}, \text{ 并根据 } H_a(j0) = H_{a_N}(s) \Big|_{s=0} \text{ 求解待}$$

定系数 d_0 ；

3. 将系统函数进行去归一化，得到最终的系统函数：

$$\text{将归一化系统函数中的 } s \text{ 替换为 } \frac{s}{\Omega_c}, \text{ 得到最终的系统函数，即 } H_a(s) = H_{a_N}\left(\frac{s}{\Omega_c}\right).$$

有的资料将切比雪夫I型模拟滤波器的截止频率用 Ω_p 代替 Ω_c ，此时将上述过程中的所有 Ω_c 用 Ω_p 代替即可，二者在切比雪夫滤波器设计时等价。

■ 例题7-3

推导出2阶切比雪夫I型模拟低通滤波器的系统函数，假设通带截止频率 $\Omega_c = 1 \text{ rad/s}$ ，波纹 $\delta_p = 1 \text{ dB}$ 。

■ 例7-4

设计一低通切比雪夫I型模拟滤波器，其性能指标为：

通带截止频率 $\Omega_c = 2\pi \times 10^4 \text{ rad/s}$ ，通带最大衰减 $\delta_p = 1 \text{ dB}$ ；

阻带截止频率 $\Omega_{st} = 2\pi \times 1.5 \times 10^4 \text{ rad/s}$ ，阻带最小衰减 $\delta_s = 15 \text{ dB}$ ；

归纳：巴特沃斯与切比雪夫I型模拟低通滤波器的设计步骤

给定设计指标：通带截止频率 Ω_p ，通带衰减（波纹） δ_p ，阻带截止频率 Ω_{st} ，阻带衰减（波纹） δ_s ；

1.根据指标要求确定滤波器阶数，巴特沃斯滤波器还需确定截止频率

$$\text{巴特沃斯滤波器：} N \geq \frac{\lg[(10^{0.1\delta_p} - 1)/(10^{0.1\delta_s} - 1)]}{2 \lg(\Omega_p/\Omega_{st})}$$

$$\text{截止频率}\Omega_c = \frac{\Omega_p}{\sqrt[2N]{10^{0.1\delta_p} - 1}} \text{ 或 } \Omega_c = \frac{\Omega_{st}}{\sqrt[2N]{10^{0.1\delta_s} - 1}} ;$$

$$\text{切比雪夫I型滤波器：} N \geq \frac{\operatorname{arcch}[\sqrt{\frac{10^{0.1\delta_s} - 1}{10^{0.1\delta_p} - 1}}]}{\operatorname{arcch}(\Omega_{st}/\Omega_c)}, \quad \epsilon^2 = 10^{0.1\delta_p} - 1$$

2.根据通带波纹与阶数进行查表，得到归一化的系统函数 $H_{aN}(s)$ ，切比雪夫I型需求待定系数 d_0 。

3.将系统函数进行去归一化，得到最终的系统函数

将归一化系统函数中的 s 替换为 $\frac{s}{\Omega_c}$ ，得到最终的系统函数，即 $H_a(s) = H_{aN}(\frac{s}{\Omega_c})$ 。

7.2.模拟滤波器转化为数字滤波器

7.2.1.映射方法简述

映射的目的是从模拟滤波器变换到数字滤波器。

该过程就是从已知的模拟滤波器系统函数 $H_a(s)$ 映射为数字滤波器的系统函数 $H(z)$ ，因此从模拟滤波器到数字滤波器的变换归根结底就是从 s 平面到 z 平面的映射变换。

该映射变换必须满足如下两个要求：

1. $H(z)$ 的频率响应要能模仿 $H_a(s)$ 的频率响应, s 平面虚轴 $s = j\Omega$ 要映射为 z 平面的单位圆 $z = e^{j\omega}$;

2. 因果稳定的 $H_a(s)$ 能映射为因果稳定的 $H(z)$, 即 s 平面的左半平面 $\text{Re}[s] < 0$ 要映射为 z 平面单位圆内部 $|z| < 1$ 。

我们重点研究两种映射方法: 冲激响应不变法与双线性变换法。

7.2.2. 冲激响应不变法

■ 冲激响应不变法的变换原理

冲激响应不变法就是使数字滤波器的单位脉冲响应 $h(n)$ 模仿模拟滤波器的冲激响应 $h_a(t)$; 也就是说, 我们将 $h_a(t)$ 进行等间隔采样, 使得 $h(n)$ 刚好等于 $h_a(t)$ 的 T 间隔采样值, 即:

$$h(n) = h_a(t) \Big|_{t=nT};$$

假定 $h(n) \leftrightarrow H(z)$, $h_a(t) \leftrightarrow H_a(s)$, 则可以得到模拟滤波器数字化的过程为:

$$H_a(s) \rightarrow h_a(t) \rightarrow h(n) \rightarrow H(z);$$

这个过程也就是时域采样、频域周期延拓的过程;

根据 z 变换与拉普拉斯变换的关系, 我们有 $H(z) \Big|_{z=e^{sT}} = \frac{1}{T} \sum_{k=-\infty}^{\infty} H_a(s - j\frac{2\pi}{T}k)$ 。

即冲激响应不变法将模拟滤波器的 s 平面变换成数字滤波器的 z 平面, 即 $z = e^{sT}$ 。

■ 模拟滤波器转数字滤波器的混叠失真

易证得数字滤波器频率响应与模拟滤波器的频率响应关系为:

$$H(e^{j\omega}) = \frac{1}{T} \sum_{k=-\infty}^{\infty} H_a(j\frac{\omega - 2\pi k}{T}).$$

由于 $h(t)$ 离散化为 $h(n)$, 所以数字滤波器的频响是模拟滤波器频响的周期延拓;

只有当模拟滤波器的频率响应是严格限带的, 且频带限于折叠频率内时, 才不产生混叠失真;

而实际的模拟滤波器的频率响应都不是严格限带的, 所以周期延拓后会产生频谱混叠;

即产生频率响应的混叠失真, 这时数字滤波器的频响就不同于原模拟滤波器的频响。

■ 模拟滤波器的数字化

假定 $h(n) \leftrightarrow H(z)$, $h_a(t) \leftrightarrow H_a(s)$, 则可以得到模拟滤波器数字化的过程为:

$$H_a(s) \rightarrow h_a(t) \rightarrow h(n) \rightarrow H(z);$$

设滤波器的系统函数只有一阶极点, 且系统函数为真分式 (分母阶次大于分子阶次), 即:

$$H_a(s) = \sum_{k=1}^N \frac{A_k}{s - s_k};$$

则模拟滤波器的单位冲激响应即为系统函数的拉式反变换:

$$h_a(t) = L^{-1} \left[\sum_{k=1}^N \frac{A_k}{s - s_k} \right] = \sum_{k=1}^N A_k e^{s_k t} u(t);$$

使数字滤波器的单位脉冲响应 $h(n)$ 等于模拟滤波器冲击响应 $h_a(t)$ 的采样:

$$h(n) = h_a(t) \Big|_{t=nT} = \sum_{k=1}^N A_k e^{s_k nT} u(nT);$$

$$\text{对 } h(n) \text{ 求 } z \text{ 变换: } \sum_{n=-\infty}^{\infty} h(n) z^{-n} = \sum_{n=-\infty}^{\infty} \sum_{k=1}^N A_k e^{s_k nT} u(nT) z^{-n} = \sum_{k=1}^N \frac{A_k}{1 - e^{s_k T} z^{-1}}$$

$$\text{比对 } H_a(s) = \sum_{k=1}^N \frac{A_k}{s - s_k} \text{ 与 } H(z) = \sum_{k=1}^N \frac{A_k}{1 - e^{s_k T} z^{-1}}, \text{ 我们容易发现:}$$

1. s 平面的极点 变换到 z 平面上的极点 $z = e^{s_k T}$

2. $H_a(s)$ 与 $H(z)$ 的部分分式的系数是相同的: 均为 A_k

$$H_a(s) = \sum_{k=1}^N \frac{A_k}{s - s_k}, \quad H(z) = \sum_{k=1}^N \frac{A_k}{1 - e^{s_k T} z^{-1}}.$$

■ 数字化后滤波器的修正

根据 $H(e^{j\omega}) = \frac{1}{T} \sum_{k=-\infty}^{\infty} H_a(j \frac{\omega - 2\pi k}{T})$, 我们发现数字滤波器频率响应幅度还与采样间隔 T

成反比;

如果采样频率很高, 即 T 很小, 数字滤波器可能具有很高的增益, 这是不希望的。

为了使数字滤波器增益不随采样频率而变化, 作以下修正: $h(n) = T h_a(t) \Big|_{t=nT};$

因此数字滤波器的系统函数变为 $H(z) = \sum_{k=1}^N \frac{TA_k}{1 - e^{s_k T} z^{-1}}$;

$$H_a(s) = \sum_{k=1}^N \frac{A_k}{s - s_k} \Rightarrow H(z) = \sum_{k=1}^N \frac{TA_k}{1 - e^{s_k T} z^{-1}}$$

■ 冲激响应不变法的优点与不足用

冲激响应不变法的优点:

1. 冲激响应不变法的时域逼近良好;
2. 模拟频率 Ω 与数字频率 ω 之间呈线性映射关系 $\omega = \Omega T$;

冲激响应不变法的不足:

冲激响应不变法设计的滤波器会有频率响应的混叠效应。

因此, 冲激响应不变法仅适用于限带的模拟滤波器(比如衰减特性很好的低通或带通滤波器), 而且高频衰减越快, 混叠效应越小; 而对于高通、带阻滤波器, 不便采用此方法进行设计。

■ 冲激响应不变法设计数字低通滤波器的步骤

介绍完冲激响应不变法之后, 我们结合第一模块模拟低通滤波器的内容, 给出利用冲激响应不变法设计数字低通滤波器的步骤:

1. 根据给定数字低通滤波器的指标 $\omega_p, \omega_{st}, \delta_p, \delta_s$;
2. 选择合适的 T 值, 求解模拟指标 $\Omega_p = \frac{\omega_p}{T}, \Omega_{st} = \frac{\omega_{st}}{T}$;
3. 根据指标 $\omega_p, \omega_{st}, \delta_p, \delta_s$, 设计模拟滤波器, 并得到系统函数 $H_a(s)$;
4. 将系统函数 $H_a(s)$ 进行部分分式展开, 展开成 $H_a(s) = \sum_{k=1}^N \frac{A_k}{s - s_k}$ 的形式(可查表进行因式分解);
5. 依据冲激响应不变法, 数字滤波器的系统函数为 $H(z) = \sum_{k=1}^N \frac{TA_k}{1 - e^{s_k T} z^{-1}}$;

由于会与模拟频率合并变为数字频率, 因此采样间隔 T 的取值不影响设计, 一般取1居多。

■ 例题7-5

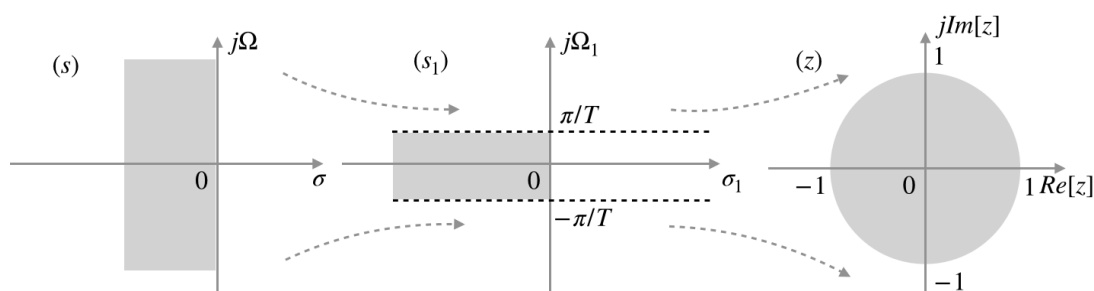
已知模拟滤波器的系统函数为 $H_a(s) = \frac{2}{s^2 + 4s + 3}$ ，试用冲激响应不变法设计数字滤波器的系统函数。

■ 例题7-6

用冲激响应不变法设计一个三阶巴特沃斯数字低通滤波器，满足：采样频率 $f_s = 4k\text{Hz}$ ，3dB截止频率为 $f_c = 1k\text{Hz}$ 。

7.2.3.双线性变换法

■ 双线性变换法的变换原理



双线性变换法首先采用非线性频率压缩的方法，将整个频率轴上的频率范围压缩至 $[-\frac{\pi}{T}, \frac{\pi}{T}]$ ；

再通过 $z = e^{sT}$ 映射至 z 平面， s 平面与 z 平面建立了一一对应的单值关系，消除了多值变换性，从而消除了频谱混叠现象；

从 s 平面到 s_1 平面的映射可以通过正切变换 $\Omega = c \tan(\frac{\Omega_1 T}{2})$ 实现，其中 T 为采样间隔；

$$\Omega_1 : -\frac{\pi}{T} \rightarrow 0 \rightarrow \frac{\pi}{T} \Rightarrow \Omega : -\infty \rightarrow \infty ;$$

根据欧拉公式可以推得 $j\Omega = c \frac{e^{j\frac{\Omega_1 T}{2}} - e^{-j\frac{\Omega_1 T}{2}}}{e^{j\frac{\Omega_1 T}{2}} + e^{-j\frac{\Omega_1 T}{2}}}$ ，

$$\text{令 } j\Omega = s, j\Omega_1 = s_1, \text{ 则 } s = c \frac{e^{\frac{s_1 T}{2}} - e^{-\frac{s_1 T}{2}}}{e^{\frac{s_1 T}{2}} + e^{-\frac{s_1 T}{2}}} = c \cdot \frac{1 - e^{-s_1 T}}{1 + e^{-s_1 T}};$$

将 s_1 平面通过 $z = e^{s_1 T}$ 映射到 z 平面, 则 $s = c \cdot \frac{1 - z^{-1}}{1 + z^{-1}}$, 从而得到了最终的单值映射关系;

该变换是两个线性函数之比, 因此称为双线性变换;

$$\text{双线性变换的变换式: } s = c \cdot \frac{1 - z^{-1}}{1 + z^{-1}}$$

其中常数 c 的确定:

为了使模拟滤波器与数字滤波器在低频处有较为确切的对应关系, 即模拟原型滤波器的

低频特性近似于数字滤波器的低频特性, 则需满足: $\Omega = c \tan(\frac{\Omega_1 T}{2}) \approx c \frac{\Omega_1 T}{2} \approx \Omega_1$

$$\text{则常数 } c = \frac{2}{T}, \text{ 此时 } \Omega = \frac{2}{T} \tan(\frac{\Omega_1 T}{2}) = \frac{2}{T} \tan(\frac{\omega}{2}).$$

$$\text{所以双线性变换关系式为 } s = \frac{2}{T} \cdot \frac{1 - z^{-1}}{1 + z^{-1}}.$$

■ 双线性变换法的优点与不足

双线性变换法的优点:

消除了冲激响应不变法的混叠效应, 可设计各种类型的滤波器。

冲激响应不变法的不足:

$$\text{存在着严重的非线性频率变换 } \Omega = \frac{2}{T} \tan(\frac{\omega}{2})$$

对于分段常数的滤波器, 经过双线性变换之后, 仍得到幅频特性为分段常数的滤波器, 但各个分段边缘的临界频率点的位置会产生畸变, 这种频率的畸变, 可以通过频率的预畸变加以校正;

预畸变指将临界模拟频率事先加以畸变, 然后经过变换后刚好可以映射到所需数字频率上;

$$\text{预畸变的表达式为 } \Omega_p = \frac{2}{T} \tan(\frac{\omega_p}{2}), \text{ 在双线性变换法设计数字滤波器时必须进行预畸变}$$

操作。

■ 双线性变换法设计模拟低通滤波器的步骤

1. 根据给定数字低通滤波器的指标 $\omega_p, \omega_{st}, \delta_p, \delta_s$;
2. 通过预畸变, 确定模拟指标: $\Omega = \frac{2}{T} \cdot \tan(\frac{\omega}{2})$; (T 的值一般取2)
3. 根据指标 $\omega_p, \omega_{st}, \delta_p, \delta_s$, 设计模拟滤波器, 并得到系统函数 $H_a(s)$;
4. 依据双线性变换法, 数字滤波器的系统函数为 $H(z) = H(s) \Big|_{s=\frac{2}{T} \cdot \frac{1-z^{-1}}{1+z^{-1}}}$;

在变换过程中, 采样间隔 T 一般取2, 会通过计算抵消, 因此其取值不影响设计。

■ 例题7-7

设计一个数字低通滤波器, 要求:

- (1) 3dB截止频率为 $\omega_c = 0.25\pi$;
- (2) 利用双线性变换法设计一阶模拟巴特沃斯滤波器。

■ 例题7-8

已知二阶归一化巴特沃斯模拟低通滤波器的系统函数为 $H_{a_N}(s) = \frac{1}{s^2 + \sqrt{2}s + 1}$, 试用双

线性变换法将该模拟滤波器转化为数字滤波器, 要求:

采样间隔 $T = 1s$, 3dB截止频率为 $f_c = 0.25Hz$ 。

■ 例题7-9

用双线性变换法设计一个三阶巴特沃斯数字低通滤波器, 要求:

采样频率 $f_s = 4kHz$, 3dB截止频率为 $f_c = 1kHz$ 。

归纳: 冲激响应不变法与双线性变换法

1. 给定数字低通滤波器的指标 $\omega_p, \omega_{st}, \delta_p, \delta_s$;
2. 通过数字频率指标确定模拟频率指标:

冲激响应不变法: 选择合适的 T 值, 求解模拟指标 $\Omega_p = \frac{\omega_p}{T}$, $\Omega_{st} = \frac{\omega_{st}}{T}$

双线性变换法：通过预畸变，确定模拟指标 $\Omega = \frac{2}{T} \cdot \tan(\frac{\omega}{2})$

3. 根据指标 $\omega_p, \omega_{st}, \delta_p, \delta_s$ ，设计模拟滤波器（巴特沃斯或切比雪夫I型），并得到系统函数 $H_a(s)$ ；

4. 经过数字域转化求解系统函数 $H(z)$ ；

$$\text{冲激响应不变法：} H_a(s) = \sum_{k=1}^N \frac{A_k}{s - s_k} \Rightarrow H(z) = \sum_{k=1}^N \frac{TA_k}{1 - e^{s_k T} z^{-1}}$$

$$\text{双线性变换法：} H(z) = H(s) \Big|_{s=\frac{2}{T} \cdot \frac{1-z^{-1}}{1+z^{-1}}}$$

7.3. 数字域的频率转换

7.3.1. 数字滤波器简介

■ 选频滤波器概述

数字滤波器按照频率响应的通带特性可以划分为低通、高通、带通和带阻等几种形式；

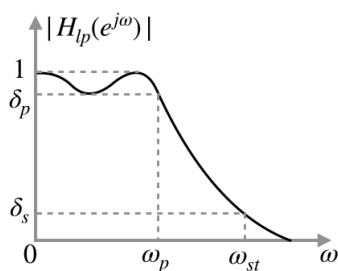
数字滤波器系统的频率响应 $H(e^{j\omega})$ 是以 2π 为周期的函数，且数字采样频率

$$\omega_s = \Omega_s T = 2\pi f_s T = 2\pi ;$$

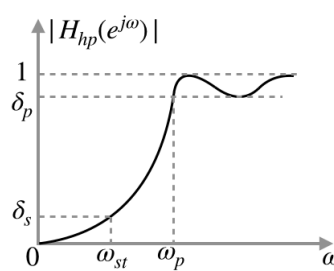
按照奈奎斯特抽样定理，滤波器的频率特性只能限定在折叠频率之内，即 $\omega_h \leq \frac{\omega_s}{2} = \pi$ ；

在设计数字滤波器时，采样频率是一个必不可少的参量。

■ 选频滤波器分类



1. 低通滤波器



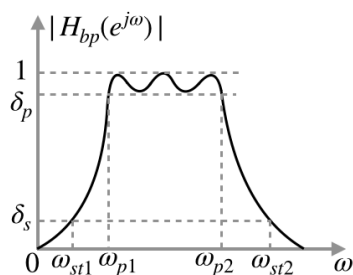
2. 高通滤波器

ω_p 通带截止频率

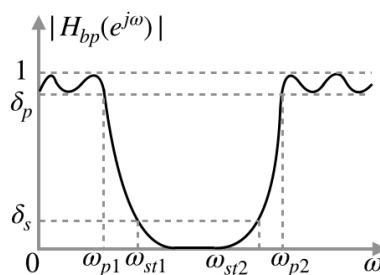
ω_{st} 阻带截止频率

δ_p 通带波纹

δ_s 阻带波纹



3.带通滤波器



4.带阻滤波器

ω_{p1}, ω_{p2} 通带截止频率
 $\omega_{st1}, \omega_{st2}$ 阻带截止频率
 δ_p 通带波纹
 δ_s 阻带波纹

7.3.2.数字频率转换

■ 数字频率转换原理

假设给定的数字低通滤波器为 $H_L(z)$ ，希望得到的数字选频滤波器为 $H_d(z)$ ；

定义一个映射关系 $z^{-1} = G(Z^{-1})$ ，则有 $H_d(Z) = H_L(z) \Big|_{z^{-1}=G(Z^{-1})}$ ；

对于给定的因果稳定的数字低通滤波器 $H_L(z)$ ，我们希望经过 $z \rightarrow Z$ 变换后的 $H_d(z)$ 也是因果稳定的，因此该映射关系需满足：

1. z 平面的单位圆必须映射到 Z 平面的单位圆上；
2. z 平面的单位圆内部必须映射到 Z 平面的单位圆内部；
3. 系统函数 $G(Z^{-1})$ 必须是 Z^{-1} 的有理函数。

用 θ 表示 z 平面的数字频率， ω 表示 Z 平面的数字频率； $e^{j\theta}$ 和 $e^{j\omega}$ 分别表示 z 平面和 Z 平面的单位圆；

根据 $z^{-1} = G(Z^{-1})$ ，有 $e^{-j\theta} = G(e^{-j\omega}) = |G(e^{-j\omega})| e^{j\arg[G(e^{-j\omega})]}$ ，因此

$$|G(e^{-j\omega})| = 1;$$

所以 $z^{-1} = G(Z^{-1})$ 为全通函数；

全通函数的系统函数

$$H_{ap}(z) = \pm K \frac{z^{-N} + a_1 z^{-N+1} + a_2 z^{-N+2} + \cdots + a_N}{1 + a_1 z^{-1} + a_2 z^{-2} + \cdots + a_N z^{-N}} = \pm K \prod_{i=1}^N \frac{z^{-1} - \alpha_i^*}{1 - \alpha_i z^{-1}};$$

N 为全通系统的阶数；

因此定义映射 $z^{-1} = G(Z^{-1}) = \prod_{i=1}^N \frac{Z^{-1} - \alpha_i^*}{1 - \alpha_i Z^{-1}}$ ，选择合适的N和 α_i ，可以得到各类变换。

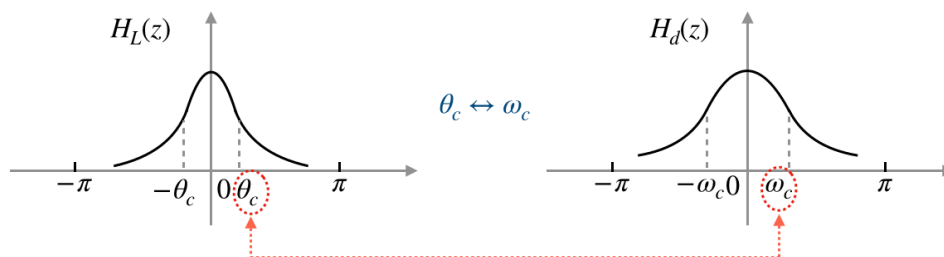
■ 数字频率转换：数字低通——数字低通

设 θ_c 为给定的数字低通滤波器的截止频率， ω_c 为希望得到的低通滤波器的截止频率；

则数字低通到数字低通的映射关系为 $z^{-1} = G(Z^{-1}) = \frac{Z^{-1} - \alpha}{1 - \alpha Z^{-1}}$ ；

z 平面至 Z 平面的映射关系如下，根据 $\theta_c \leftrightarrow \omega_c$ ，则有 $e^{-j\theta_c} = \frac{e^{-j\omega_c} - \alpha}{1 - \alpha e^{-j\omega_c}}$ ，解得

$$\alpha = \frac{\sin[(\theta_c - \omega_c)/2]}{\sin[(\theta_c + \omega_c)/2]};$$



■ 例题7-10

在例题7-7的基础上，设计一个数字低通滤波器，要求截止频率 $\omega_c = 0.75\pi$ 。

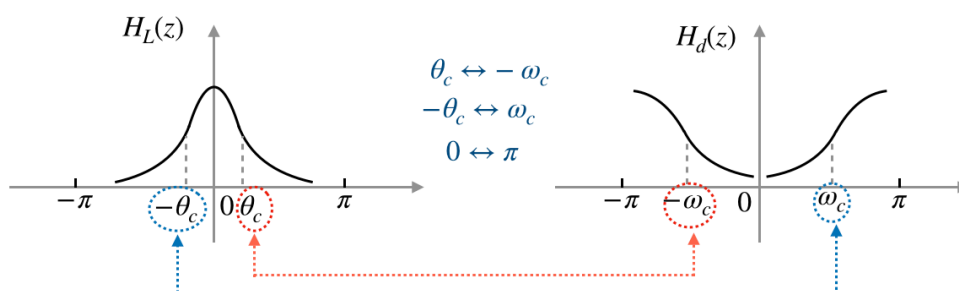
■ 数字频率转换：数字低通——数字高通

设 θ_c 为给定的数字滤波器的截止频率， ω_c 为高通滤波器的截止频率；

则数字低通到数字高通的映射关系为 $z^{-1} = G(Z^{-1}) = -\frac{Z^{-1} + \alpha}{1 + \alpha Z^{-1}}$ ；

z 平面至 Z 平面的映射关系如下，根据 $\theta_c \leftrightarrow -\omega_c$ ，则有 $e^{-j\theta_c} = -\frac{e^{j\omega_c} + \alpha}{1 + \alpha e^{j\omega_c}}$ ，因此

$$\alpha = -\frac{\cos[(\theta_c + \omega_c)/2]}{\cos[(\theta_c - \omega_c)/2]};$$



数字低通——数字高通【映射技巧】

数字低通到数字高通的映射关系为 $z^{-1} = G(Z^{-1}) = -\frac{Z^{-1} + \alpha}{1 + \alpha Z^{-1}}$,

$$\text{其中 } \alpha = -\frac{\cos[(\theta_c + \omega_c)/2]}{\cos[(\theta_c - \omega_c)/2]};$$

若给定高通指标 ω_p 和 ω_{st} , 我们来求低通指标 θ_p 和 θ_{st} :

$$\text{设 } \theta_p = \pi - \omega_p, \text{ 则此时有 } \alpha = -\frac{\cos[(\theta_p + \omega_p)/2]}{\cos[(\theta_p - \omega_p)/2]} = 0;$$

又因为数字低通转高通的映射关系为 $\theta_{st} \leftrightarrow -\omega_{st}$, 此时

$$z^{-1} = e^{-j\theta_{st}}, Z^{-1} = e^{-j(-\omega_{st})} = e^{j\omega_{st}};$$

$$\text{代入映射关系中, 可得: } e^{-j\theta_{st}} = -\frac{e^{j\omega_{st}} + \alpha}{1 + \alpha e^{j\omega_{st}}};$$

又因为 $\alpha = 0$, 可以求得数字低通截止频率指标 $\theta_{st} = \pi - \omega_{st}$, 且对应的映射关系简化为: $z^{-1} = G(Z^{-1}) = -Z^{-1}$

同理, 设 $\theta_{st} = \pi - \omega_{st}$, 也可以简化映射关系式, 方便后续的计算。

综上所述, 在设计数字高通滤波器时, 我们可以利用 $\theta_{st} = \pi - \omega_{st}$ 或 $\theta_p = \pi - \omega_p$, 将高

通指标转化为低通指标, 此时映射关系中的参数 $\alpha = -\frac{\cos[(\theta_p + \omega_p)/2]}{\cos[(\theta_p - \omega_p)/2]} = 0$

映射关系式由 $z^{-1} = G(Z^{-1}) = -\frac{Z^{-1} + \alpha}{1 + \alpha Z^{-1}}$ 转化为 $z^{-1} = G(Z^{-1}) = -Z^{-1}$,

可大大简化映射关系的转换, 便于进行数字域频带转换。

■ 例题7-11

用双线性变换法设计一个高通数字滤波器，要求用切比雪夫I型滤波器逼近，设计指标为：

通带截止频率 $\omega_p = 0.6\pi$ ，通带最大衰减 $\delta_p = 1dB$ ；

阻带截止频率 $\omega_{st} = 0.46\pi$ ，阻带最小衰减 $\delta_s = 15dB$ 。

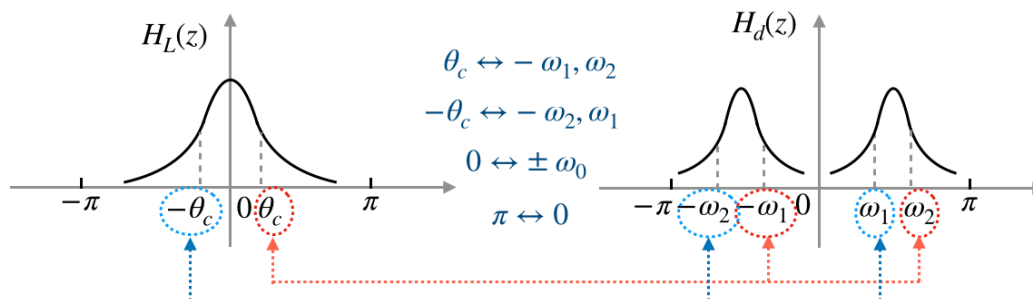
■ 数字频率转换：数字低通——数字带通

设 θ_c 为给定的数字低通滤波器的截止频率， ω_1, ω_2 为希望得到的带通滤波器的上、下截止频率；

则数字低通到数字带通的映射关系为 $z^{-1} = G(Z^{-1}) = -\frac{Z^{-2} + \alpha_1 Z^{-1} + \alpha_2}{\alpha_2 Z^{-2} + \alpha_1 Z^{-1} + 1}$ ；

z 平面至 Z 平面的映射关系如下，可解得 $\alpha_1 = -\frac{-2\beta k}{k+1}$ ， $\alpha_2 = -\frac{k-1}{k+1}$ ，

$$\text{其中 } \beta = -\frac{\cos[(\omega_2 + \omega_1)/2]}{\cos[(\omega_2 - \omega_1)/2]}, \quad k = \cot\left(\frac{\omega_2 - \omega_1}{2}\right) \tan \frac{\theta_c}{2}$$



■ 例题7-12

用双线性变换法设计一个带通数字滤波器，要求用切比雪夫I型滤波器逼近，设计指标为：

通带截止频率 $\omega_{p1} = 0.4\pi$ ， $\omega_{p2} = 0.5\pi$ ，通带最大衰减 $\delta_p = 1dB$ ；

阻带截止频率 $\omega_{p1} = 0.2\pi$ ， $\omega_{p2} = 0.7\pi$ ，阻带最小衰减 $\delta_s = 15dB$ 。

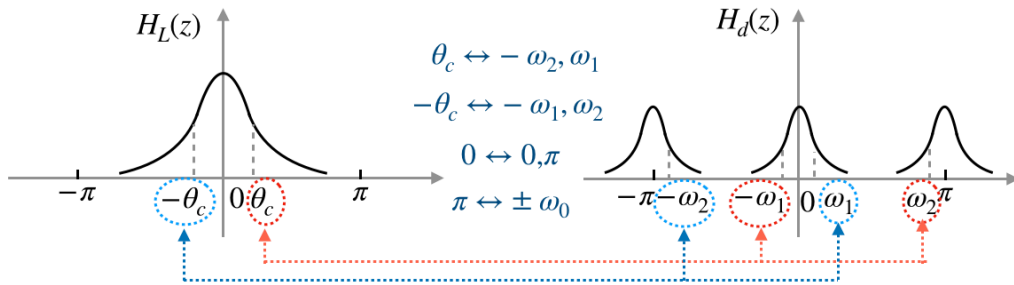
■ 数字频率转换：数字低通——数字带阻

设 θ_c 为给定的数字低通滤波器的截止频率， ω_1, ω_2 为希望得到的带通滤波器的上、下截止频率；

则数字低通到数字带阻的映射关系为 $z^{-1} = G(Z^{-1}) = \frac{Z^{-2} + \alpha_1 Z^{-1} + \alpha_2}{\alpha_2 Z^{-2} + \alpha_1 Z^{-1} + 1}$;

z 平面至 Z 平面的映射关系如下, 可解得 $\alpha_1 = -\frac{-2\beta}{k+1}$, $\alpha_2 = \frac{1-k}{1+k}$,

$$\text{其中 } \beta = \frac{\cos[(\omega_2 + \omega_1)/2]}{\cos[(\omega_2 - \omega_1)/2]}, \quad k = \tan\left(\frac{\omega_2 - \omega_1}{2}\right) \tan \frac{\theta_c}{2}$$



■ 总结：设计IIR数字滤波器的步骤

